

کمپلکس‌های آلی فلزی پلاتین(II) حاوی لیگاند بیس N- هتروسیکلیک کاربن :

مطالعه عملکرد کاتالیزوری در هیدروسیلیل دار کردن کتون‌های α,β -غیراشعاع

سیروس جمالی* و صدیقه عابدانزاده

دانشکده شیمی، دانشگاه صنعتی شریف، تهران، ایران

تاریخ پذیرش: ۹۶/۰۲/۰۴

تاریخ تصحیح: ۹۶/۰۱/۲۸

تاریخ دریافت: ۹۵/۱۲/۱۸

چکیده

دو کمپلکس پلاتین(II) حاوی لیگاند بیس (N- هتروسیکلیک کاربن)، [Pt(TFA)₂(NHC)]¹ و [PtMe₂(NHC)]²، که در آن‌ها لیگاند NHC معادل گروه ۱ او^۱-متیلن-۳-بیس[N-(ترشیوپوتیل)ایمیدازول-۲-ایلیدین] می‌باشد، تهیه و به وسیله‌ی طیف‌بینی‌های *NMR* و طیف‌سنگی *ESI-Mass* شناسایی شدند. واکنش‌پذیری این کمپلکس‌ها در واکنش‌های هیدروسیلیل دار کردن کتون‌های α,β -غیراشعاع، به کمک طیف‌بینی *NMR* مورد مطالعه قرار گرفت. کمپلکس دی‌متیلن بیس-کاربن پلاتین(II)، ۱، عملکرد خوبی در مقایسه با کمپلکس تری فلورورو استات بیس-کاربن پلاتین(II)، ۲، از خود نشان می‌دهد، به صورتی که بازده بالاتر و گزینش‌پذیری مناسب در حضور کمپلکس ۱ به عنوان کاتالیزور به دست آمد. با وجود این که اختلال وقوع دو مسیر افزایش ۱، ۲ و افزایش ۳، ۴ وجود دارد، شیمی فضایی فرآورده‌های واکنش، ارجحیت مسیر افزایش ۱، ۳ را در این واکنش‌ها نشان می‌دهد.

کلمات کلیدی: کمپلکس‌های آلی فلزی پلاتین، NHC، کاتالیزور همگن، هیدروسیلیل دار کردن

۱- مقدمه

در دهه‌های اخیر، پیشرفت و گسترش واکنش‌های فضایی‌گزین یکی از مهم‌ترین مباحث در شیمی سنتز بوده است. در این راستا کاتالیزورهای بر پایه‌ی فلزات واسطه، به علت کنترل فضایی‌گزینی به وسیله‌ی لیگاندهای متصل به مراکز فلزی، اهمیت خاصی پیدا کرده اند [۱ و ۲]. فرآیند هیدروسیلیل دار شدن به وسیله‌ی کاتالیزورهای فلزی، یکی از پرکاربردترین روش‌ها در شیمی صنعتی جهت تهییه اورگانوسیلیکون‌ها می‌باشد [۳]. اورگانوسیلیکون‌ها به عنوان ترکیبات بنیادی به طور گستردۀ در صنعت لاستیک‌های سیلیکونی، طراحی ایمپلنت، پوشش‌ها و چسب‌ها به کار بده می‌شوند [۴]. آلوکوکسی سیلان‌ها، فرآورده‌ی واکنش هیدروسیلیل دار شدن گروه‌های کربونیل، مهم‌ترین حدواتسطها در سنتز پلیمرهای آلی سیلیسیوم می‌باشند. هیدروسیلیل دار

کردن کتون‌ها و به دنبال آن، هیدرولیز سیلیل اترها مسیر مناسبی جهت سنتز الکل‌های کایرال می‌باشد که نقش بسیار عمده‌ای را در شیمی سموم گیاهی و علوم داروسازی ایفا می‌کنند.

کاتالیزور ویلکینسون^۱ [RhCl(PPh₃)₃]^۲، اولین کاتالیزور مورد استفاده در هیدروسیلیل‌دار کردن کتون‌ها بوده است [۵]. در فاصله‌ی زمانی کمی پس از آن، گروه‌های اوچیما^۳، کومادا^۴ و کگان^۴ [۶-۸] کاتالیزورهای دیگری را گزارش کردند. کمپلکس‌های فلزات واسطه به ویژه کمپلکس‌های روتنيوم [۹و۱۰] و روديوم [۱۱و۱۲] عملکرد مناسبی در کاتالیز کردن واکنش‌های هیدروسیلیل‌دار کردن از خود نشان داده اند. این در حالی است که کمپلکس‌های پلاتینی همچنان به عنوان کاتالیزورهای کارآمد و مشهور در کاتالیز کردن این نوع واکنش‌ها شناخته می‌شوند و به صورت تجاری نیز در دسترس می‌باشند [۱۳-۱۶]. از آن جا که فعالیت و گزینش‌پذیری، دو عامل بسیار مهم در این نوع واکنش‌ها محسوب می‌شوند، تلاش برای یافتن کاتالیزورهای جدید بر پایه‌ی فلزات واسطه با فعالیت و گزینش‌پذیری بالا در حال انجام می‌باشد. علاوه بر کتون‌ها، سایر ترکیبات کربونیل‌دار مانند کتون‌های غیراشباع و α -کتواسترها^۵ نیز در این راستا مورد مطالعه قرار گرفته اند [۲۰-۲۷]. بر طبق گزارشات پیشین، افزایش هیدروسیلان بر روی کتون‌های α -، β -غیراشباع، می‌تواند بر روی موقعیت‌های ۲،۱ و ۴،۱ یا ۲،۱ تابع ماهیت سیلان می‌باشد. بر اساس گزارش ژنگ و چان^۶ [۲۱]، در حضور سیلان‌های نوع دوم، به صورت اختصاصی فرآورده‌ی ناشی از افزایش ۲،۱ تولید می‌شود، در حالیکه سیلان‌های نوع سوم زمینه را جهت تولید اختصاصی فرآورده‌ی ناشی از افزایش ۴،۱ فراهم می‌آورند (شکل ۱).

¹ Wilkinson's catalyst

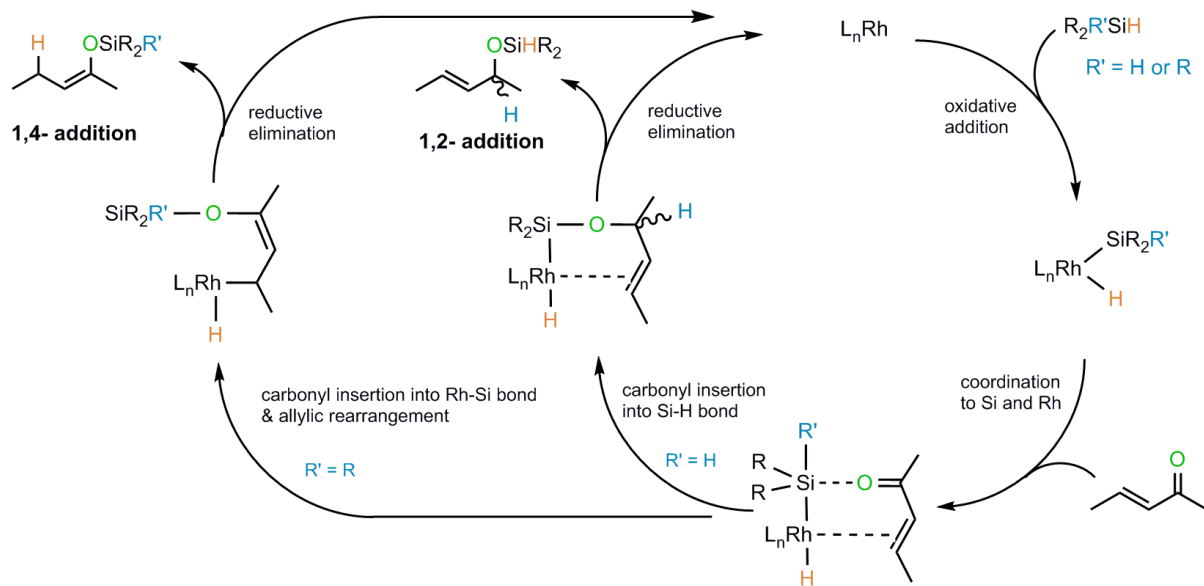
² Ojima

³ Kumada

⁴ Kagan

⁵ α - ketoester

⁶ Zheng and Chan



شکل ۱- مکانیسم پیشنهادی ژنگ و چان [۲۱] در افزایش گزینشی α,β -غیراشباع در حضور مونو-هیدروسیلان (چرخهٔ داخلی) یا دی-/تری-هیدروسیلان (چرخهٔ خارجی)

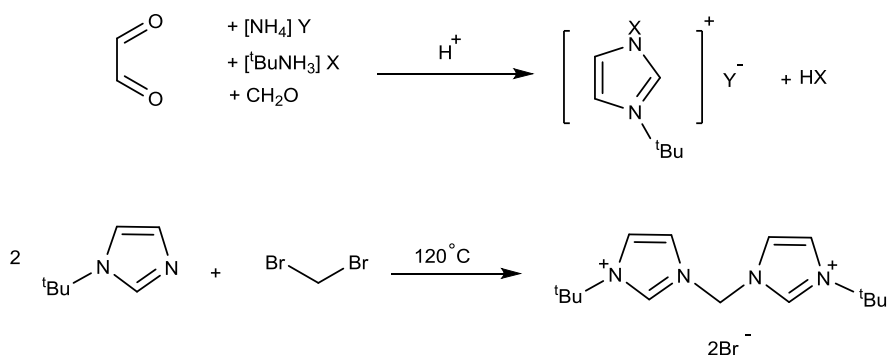
در طی گزارشات انجام شده تا به اکنون، مهم‌ترین و موثرترین نوع لیگاندهای استفاده شده در واکنش‌های هیدروسیلیل دار کردن، لیگاندهای بر مبنای ترکیبات فسفر، نیتروژن، هترواتوم‌های مختلف و N-هتروسیکلیک کاربن یا به اختصار لیگاندهای NHC می‌باشند. در طی بیست سال اخیر، سیستم‌های فلزی حامل لیگاندهای NHC پیشرفت چشم‌گیری داشته اند [۲۲]. مهم‌ترین عامل برتری لیگاندهای NHC بر سایر لیگاندها به ویژه فسفین‌ها، تشکیل پیوند سیگمای قوی با فلزات واسطه‌ی انتهایی می‌باشد [۲۳]. کمپلکس‌های حامل لیگاند NHC در زمینه‌های متنوعی دارای کاربردهای فراوان و ارزشمندی هستند [۲۴-۲۸]. پایداری حرارتی کمپلکس‌های فلزی حاوی لیگاند NHC و همچنین توانایی در تغییر و تنظیم خواص الکترونی و فضایی این ترکیبات، منجر به ساخت و توسعه‌ی ترکیبات آلی فلزی بسیار جذابی شده‌است [۲۹]. متداول‌ترین و پراهمیت‌ترین کاربرد کمپلکس‌های فلزات واسطه حامل لیگاند NHC، به عنوان کاتالیزور همگن در واکنش‌های آلی می‌باشد [۳۰]. در اصل بارزترین ویژگی لیگاندهای NHC به عنوان لیگاندهای ناظر در اتصال به فلزات واسطه، افزایش پایداری کاتالیزور، ناشی از پیوند سیگمای قوی فلز با لیگاند NHC و در نتیجه عدم رهایش لیگاند از فلز مرکزی حین فرآیندهای کاتالیزوری و به دنبال آن عدم نیاز به افزودن مقادیر اضافی از لیگاند می‌باشد. این امر منجر به کاهش سرعت تجزیه کاتالیزور و افزایش کارایی کاتالیزور در نتیجه‌ی افزایش تعداد تبدیل^۱ آن در چرخه‌ی کاتالیزوری خواهد شد [۳۱]. از طرف دیگر، سیگما الکترون دهنگی قوی و عدم پای الکترون پذیرندگی لیگاندهای N-هتروسیکلیک کاربن در مقایسه با لیگاندهای فسفینی، فلز مرکزی را غنی از الکترون و

¹ turn over number (TON)

فعال در برابر واکنش های افزایش اکسایشی خواهد کرد. با تغییر در خصوصیات الکترونی و فضایی استخلافهای متصل به لیگاند NHC می توان خواص کاتالیزور و فرآیند کاتالیزوری را به دقت کنترل نمود. حضور استخلافهای حجمی بر روی اتم های مجاور کربن در لیگاند NHC، مرحله‌ی حذف کاهشی را تسهیل می کند. بنابراین هر دو عامل الکترونی و فضایی در پایداری کاتالیزور و کنترل فعالیت و کارایی آن نقش ایفا می کنند. قابل ذکر است که خواص الکترونی NHC توسط ساختار هتروسیکل و خواص فضایی آن توسط استخلافهای متصل به اتم های مجاور کربن کاربرن، تعیین می شود [۳۲]. در این پژوهش، سنتز و شناسایی و رفتار کاتالیزوری کمپلکس های پلاتین(II) حاوی لیگاند بیس N-هتروسیکلیک کاربرن در واکنش های هیدروسیلیل دار کردن کتون های α,β -غیر اشباع مورد مطالعه قرار گرفته است.

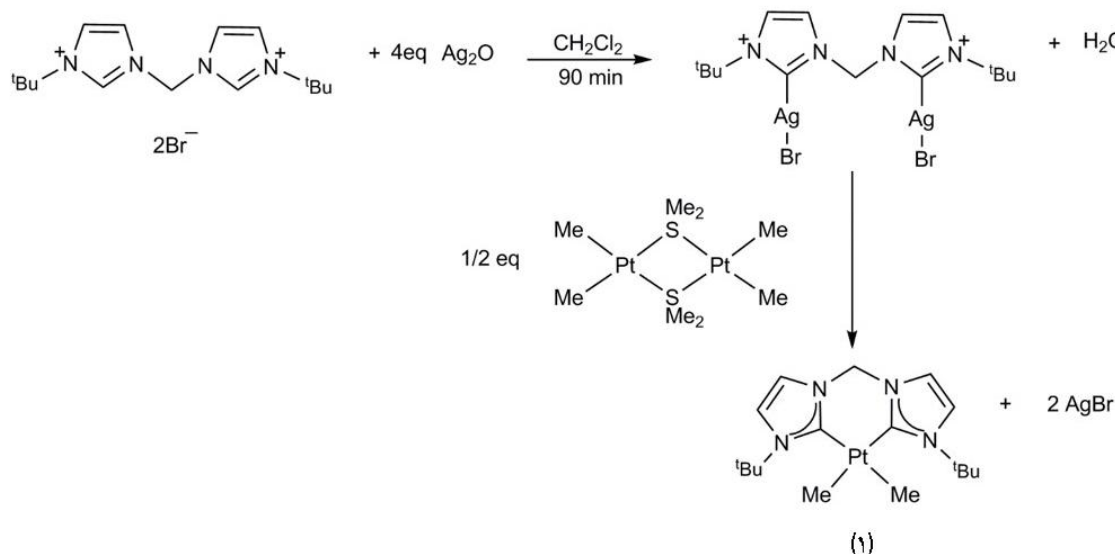
۲- بحث و نتایج

۲-۱- سنتز و شناسایی کمپلکس های پلاتین(II) حامل لیگاند بیس N-هتروسیکلیک کاربرن (کمپلکس های ۱ و ۲)
 نمک بیس ایمیدازولیوم در دو مرحله، طی واکنش های مربوطه سنتز گردید (شکل ۲). در ابتدا از اسیدی کردن محلول ۱-ترشیوبوتیل آمین در آب به وسیله‌ی فسفریک اسید، نمک ۱-ترشیوبوتیل آمونیوم حاصل می شود و سپس از واکنش گلی اکسال، فرمالدهید و نمک ۱-ترشیوبوتیل آمونیوم، ترکیب ۱-ترشیوبوتیل ایمیدازولیوم به دست می آید. در مرحله‌ی دوم، نمک بیس ایمیدازولیوم نهایی، از واکنش ترکیب ۱-ترشیوبوتیل ایمیدازولیوم با دی برمومتان در دمای 120°C حاصل می شود.



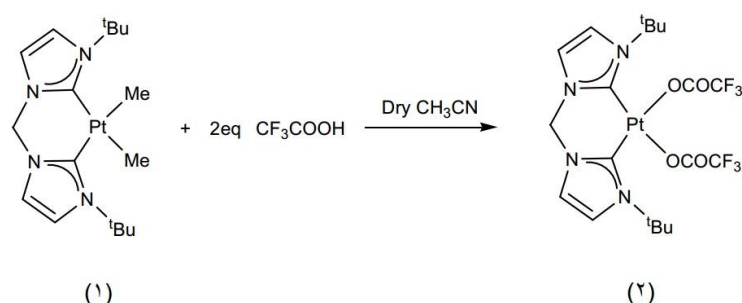
شکل ۲- طرح کلی سنتز نمک بیس ایمیدازولیوم

کمپلکس دوهسته‌ای پلاتین(II) $[\text{Pt}_2\text{Me}_4(\mu-\text{SMe}_2)_2]$ ، یک پیش ماده‌ی خوب برای سنتز کمپلکس های دی متیل پلاتین(II) می باشد. این کمپلکس حاوی لیگاندهای دی متیل سولفید است که پیوندهای سست با فلز پلاتین دارد و به راحتی به وسیله‌ی لیگاندهای دیگر جایگزین می شوند.



شکل ۳- طرح کلی سنتر کمپلکس پلاتین (II) حاوی لیگاند بیس N- هتروسیکلیک کاربن (۱)

کمپلکس پلاتین(II) حاوی لیگاند دو دندانه‌ی ۱-متیلن-۳-دیترشیوبوتیل ایمیدازول-۲-ایلیدین، با استفاده از واکنش کمپلکس نقره-کاربن مربوطه $[Ag_2(bis-NHC)Br_2]$ و ۰/۵ اکی والان کمپلکس دوهسته‌ای $[Pt_2Me_4(\mu-SMe_2)_2]$ در حلal دیکلرومتان و دمای محیط، طی دو مرحله سنتز شد (شکل ۳). از واکنش کمپلکس ۱ با ۲ اکی والان از ترکیب تری فلوئورواستیک اسید تحت آرگون و در حلal استونیتریل خشک، کمپلکس ۲ تهیه شد (شکل ۴). سنتز، شناسایی و بررسی‌های دقیق ساختاری و طیفی کمپلکس ۱ پیش از این، توسط این گروه تحقیقاتی، گزارش شده است [۲۹].

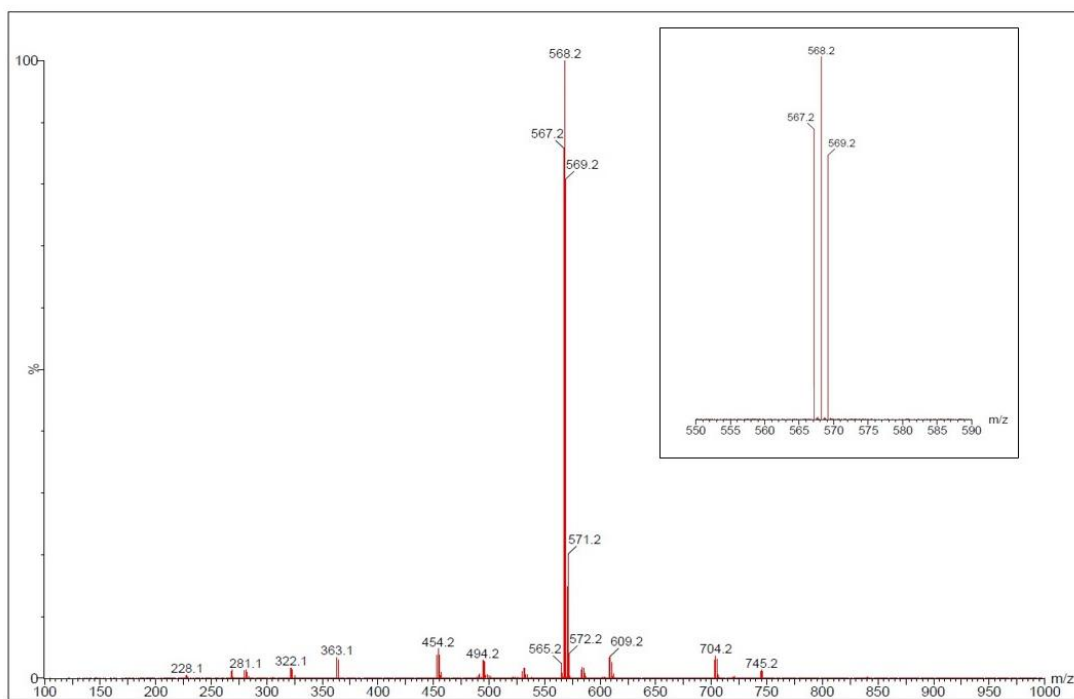


شکل ۴- طرح کلی سنتر کمپلکس پلاتین(II) حاوی لیگاند بیس N- هتروسیکلیک کاربن (۲)

کمپلکس ۲ به وسیلهٔ طیف‌بینی‌های ^1H NMR و ^{13}C NMR و طیف‌سنجدی ESI-Mass مورد شناسایی قرار گرفت. طیف ^{13}C NMR، رزونانس‌های مشخصه‌ی کربن کاربن متصل به پلاتین را در ناحیهٔ ۱۳۶ ppm نمایش

می‌دهد. اتم‌های کربن مربوط به لیگاندهای تری فلوئورواستیک اسید در ناحیه ۱۱۹ ppm و ۱۶۱ ppm ظاهر می‌گردند. همچنین، اتم‌های کربن معادل در لیگاندهای متیل که به صورت یک‌تایی در ناحیه ۷/۷ ppm با ثابت کوپلاز Hz ۶۰/۶ در کمپلکس ۱ حضور داشتند، حذف شدند. به علاوه، حذف رزونانس یک‌تایی در طیف ^1H NMR در ناحیه ۰/۲۳ ppm به همراه پیک‌های ماهواره‌ای ^{195}Pt مربوط به لیگاندهای متیل معادل در کمپلکس ۱، نشان‌دهندهٔ تشکیل کمپلکس ۲ می‌باشد. با توجه به داده‌های طیفی، سنتز کمپلکس ۲ مورد تایید قرار گرفت.

همچنین، داده‌های به دست آمده از طیفسنجی جرمی^۱ (با تکنیک یونش به روش الکترواسپری) در تطابق کامل با داده‌های طیفبینی NMR می‌باشد. این نوع طیفسنجی شامل جداسازی یون‌های یک یا چند اتمی بر پایهٔ نسبت جرم به بار (m/z) و اندازه‌گیری m/z و فراوانی یون‌ها در فاز گازی است. به عبارت دقیق‌تر، طیفسنجی جرمی به بررسی نسبت جرم به بار مولکول‌ها با استفاده از میدان‌های الکتریکی و مغناطیسی می‌پردازد. با توجه به طیف جرمی کمپلکس در شکل ۵، حضور پیک در ناحیه m/z ۵۶۸ نشان‌دهندهٔ جدا شدن یک گروه تری فلوئورواستات (TFA) از کمپلکس ۲ می‌باشد.



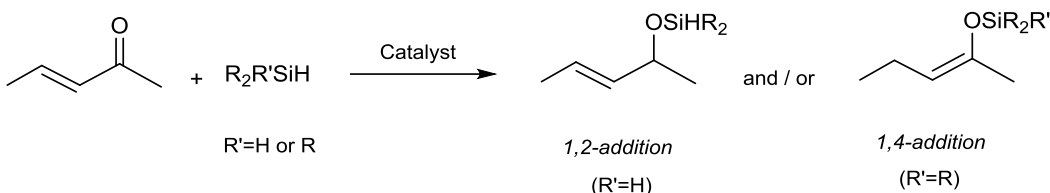
شکل ۵- طیف جرمی کمپلکس پلاتین(II) حاوی لیگاند بیس N- هتروسیکلیک کاربن (۲)

^۱ Electrospray ionization (ESI) Mass spectrometry

۲-۲- بررسی فعالیت کاتالیزوری کمپلکس‌های پلاتین(II) حامل لیگاند بیس N- هتروسیکلیک کاربن در واکنش

هیدروسیلیل دار کردن کتون‌های α,β -غیراشباع

هیدروسیلیل دار کردن آلکن‌ها یکی از زمینه‌های مهم در شیمی صنعتی می‌باشد که در حضور کاتالیزورهای فلزی انجام می‌شود. در راستای تلاش جهت یافتن کاتالیزورهای جدید بر پایه‌ی فلزات واسطه با فعالیت و گزینش پذیری بالا، در این پژوهش رفتار کاتالیزوری کمپلکس‌های پلاتین(II) حاوی لیگاند بیس N- هتروسیکلیک کاربن (کمپلکس‌های ۲۱ و ۲۲) در واکنش‌های هیدروسیلیل دار کردن کتون‌های α,β -غیراشباع مورد مطالعه قرار گرفته است (شکل ۶). در ابتدا واکنش هیدروسیلیل دار کردن ترکیب بنزیلیدن استون به عنوان کتون α,β -غیراشباع در حضور دی‌فنیل‌سیلان و کمپلکس متیلن‌بیس- N (ترشیوبوتیل‌ایمیدازول-۲-ایلیدن)‌بیس(تری‌فلوئورواستات‌پلاتین(II)) به عنوان کاتالیزور همگن در حلول تولوئن، به مدت ۱ ساعت و ۳۰ دقیقه و در دمای 100°C انجام شد.



شکل ۶- واکنش هیدروسیلیل دار کردن کتون‌های α,β -غیراشباع

به منظور به دست آوردن مقادیر بهینه، واکنش‌های متعددی در حضور مقادیر مختلف کاتالیزور، حلول‌های متفاوت و در شرایط دمایی و زمانی مختلف مورد بررسی قرار گرفت که نتایج در جدول ۱ قابل مشاهده می‌باشد. به دلیل حساسیت ترکیبات سیلان به اکسیژن هوا، تمامی واکنش‌ها تحت جو آرگون صورت گرفتند. پیشرفت واکنش‌ها به وسیله‌ی کروماتوگرافی لایه نازک (TLC) بررسی شد و پس از کامل شدن هر واکنش، فرآورده به وسیله‌ی طیفی‌بینی NMR مورد مطالعه قرار گرفت. داده‌های طیفی به دست آمده از فرآورده‌ی هر واکنش، به دقت با گزارشات پیشین مقایسه و تحلیل شد.

با توجه به داده‌های به دست آمده، با افزایش زمان واکنش از ۱ ساعت و ۳۰ دقیقه به ۴۸ ساعت، بازده واکنش افزایش می‌یابد. همچنین مشاهده شد که واکنش در دماهای بالاتر دارای بازده بالاتری می‌باشد و افزایش دمای واکنش به 110°C منجر به افزایش در بازده واکنش می‌شود. واکنش در حضور مقادیر متفاوت از کمپلکس (کاتالیزور همگن) و نسبت‌های مولی متفاوت از سیلان و کتون‌های α,β -غیراشباع مورد بررسی قرار گرفت. بالاترین بازده واکنش در شرایطی حاصل شد که در آن مقدار کاتالیزور همگن برابر 0.005 g و نسبت مولی سیلان به کتون α,β -غیراشباع به صورت ۱:۱ در نظر گرفته شده بود. واکنش در حضور حلول‌های تتراهیدروفوران (THF) و دی‌متیل‌فرم‌آمید (DMF) بازده‌های ناچیزی در برداشت در حالیکه در حلول تولوئن دارای نتایج بسیار مطلوب بود. با توجه به نتایج به دست آمده، به طور کلی واکنش‌های هیدروسیلیل دار کردن کتون‌های

- α,β -غیراشباع در حضور کمپلکس ۱ در مقایسه با کمپلکس ۲، بازده‌های بالاتری را در برداشت. همچنین مشاهده شد که واکنش‌ها در حضور ترکیب دی‌متیل‌فنیل‌سیلان (سیلان نوع سوم) نسبت به ترکیب دی‌فنیل‌سیلان (سیلان نوع دوم)، دارای بازده‌های بالاتر می‌باشند. بهترین بازده برای واکنش هیدروسیلیل‌دار کردن ترکیب بنزیلیدن استون، در حضور دی‌متیل‌فنیل‌سیلان، کمپلکس متیلن‌بیس-(N-ترشیوبوتیل)‌ایمیدازول-۲-ایلیدن) دی‌متیل پلاتین(II) به عنوان کاتالیزور همگن (کمپلکس ۱) و در شرایط ۴۸ ساعت رفلaks در دمای 110°C حاصل گردید.

جدول ۱. بهینه سازی واکنش هیدروسیلیل‌دار کردن بنزیلیدن استون

ردیف	کاتالیزور	مقدار کاتالیزور (گرم)	سیلان	کتون: سیلان	زمان (ساعت)	حلال	دما	بازده (%)
۱	۰/۰۰۵	دی‌فنیل‌سیلان	۱:۱/۲	۱/۵	۱۰۰	تولوئن	۵	
۲	۰/۰۰۵	دی‌فنیل‌سیلان	۱:۲	۲۴	۱۰۰	تولوئن	۱۵	
۳	۰/۰۰۵	دی‌فنیل‌سیلان	۱:۱	۴۸	۱۰۰	تولوئن	۳۲	
۴	۰/۰۰۵	دی‌فنیل‌سیلان	۱:۱	۴۸	۱۱۰	تولوئن	۳۷	
۵	۰/۰۰۵	دی‌فنیل‌سیلان	۱:۱	۴۸	۱۱۰	تولوئن	۳۳	
۶	۰/۰۰۵	دی‌فنیل‌سیلان	۱:۱	۴۸	۸۰	تولوئن	ناچیز	
۷	۰/۰۰۵	دی‌متیل‌فنیل‌سیلان	۱:۱	۴۸	۱۱۰	تولوئن	۳۳	
۸	۰/۰۱۰	دی‌فنیل‌سیلان	۱:۱	۴۸	THF	ناچیز	ناچیز	
۹	۰/۰۰۵	دی‌فنیل‌سیلان	۱:۱	۴۸	DMF	ناچیز	ناچیز	
۱۰	۰/۰۰۵	دی‌متیل‌فنیل‌سیلان	۱:۱	۴۸	۲۵	تولوئن	ناچیز	
۱۱	۰/۰۰۵	دی‌فنیل‌سیلان	۱:۱	۴۸	۱۱۰	تولوئن	۲۵	
۱۲	۰/۰۰۵	دی‌متیل‌فنیل‌سیلان	۱:۱	۴۸	۱۱۰	تولوئن	۹۰	

واکنش هیدروسیلیل‌دار کردن در حضور مشتقات مختلف از کتون‌های α,β -غیراشباع در شرایط بهینه مورد بررسی قرار گرفت که نتایج در جدول ۲ قابل مشاهده می‌باشد. واکنش هیدروسیلیل‌دار کردن ترکیب بنزیلیدن استون به عنوان کتون α,β -غیراشباع در مقایسه با سایر ترکیبات با حفظ شرایط بهینه، مطلوب‌تر و دارای نتایج بهتر بود.

با توجه به داده‌های به دست آمده و مقایسه با گزارشات پیشین در زمینه‌ی واکنش‌های هیدروسیلیل‌دار شدن کتون‌های α,β -غیراشباع [۳۳]، در شرایط بهینه موجود در این پژوهش، افزایش هیدروسیلان به کتون‌های α,β -غیراشباع بدون واستگی به ماهیت سیلان، به صورت گزینشی عمل می‌کند. به این صورت که واکنش در حضور سیلان نوع دوم (دی‌فنیل‌سیلان) و نوع سوم (دی‌متیل‌فنیل‌سیلان) به صورت اختصاصی فرآورده‌ی ناشی از افزایش ۴،۱ را تولید می‌نماید و به عبارتی افزایش هیدروسیلان بر روی موقعیت اولفینی کتون‌های α,β -غیراشباع صورت می‌پذیرد. با توجه به مقالات چاپ شده، فرآورده‌ی ناشی از افزایش ۲،۱ به عنوان فرآورده‌ی سینتیکی و فرآورده‌ی ناشی از افزایش ۴،۱ به عنوان فرآورده‌ی پایدار ترمودینامیکی لحاظ می‌شود. برای تایید نتیجه، واکنش مشابه در دماهای پایین‌تر از 110°C (دمای اتاق) و به مدت طولانی‌تر (۴ روز) مورد

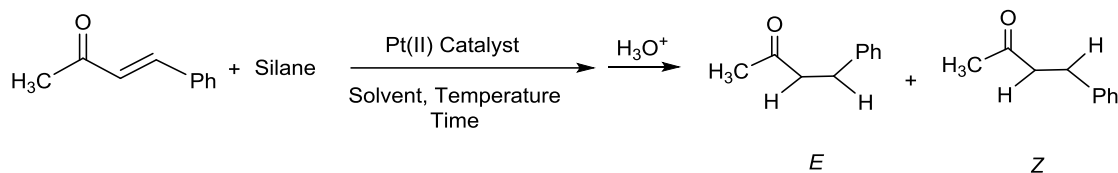
بررسی قرار گرفت. نتیجه به دست آمده از آنالیزها، تشکیل فرآورده‌ی ناشی از افزایش α,β -غیراشباع را به خوبی تایید می‌کرد. به طور کلی مزیت مهم این روش، تشکیل گزینشی فرآورده‌ی اختصاصی در واکنش هیدروسیلیل‌دار کردن کتون α,β -غیراشباع در حضور کمپلکس پلاتین(II) حاوی لیگاند بیس N-هتروسیکلیک کاربن می‌باشد.

جدول ۲. نتایج به دست آمده از واکنش هیدروسیلیل‌دار کردن کتون‌های α,β -غیراشباع در حضور کاتالیزور همگن

ردیف	کتون α,β -غیراشباع	محصول واکنش هیدروسیلیل‌دار کردن	بازده(%)
۱			۹۰
۲			۷۵
۳			۶۴
۴			۷۸
۵			۳۳
۶			۴۵
۷			۳۰

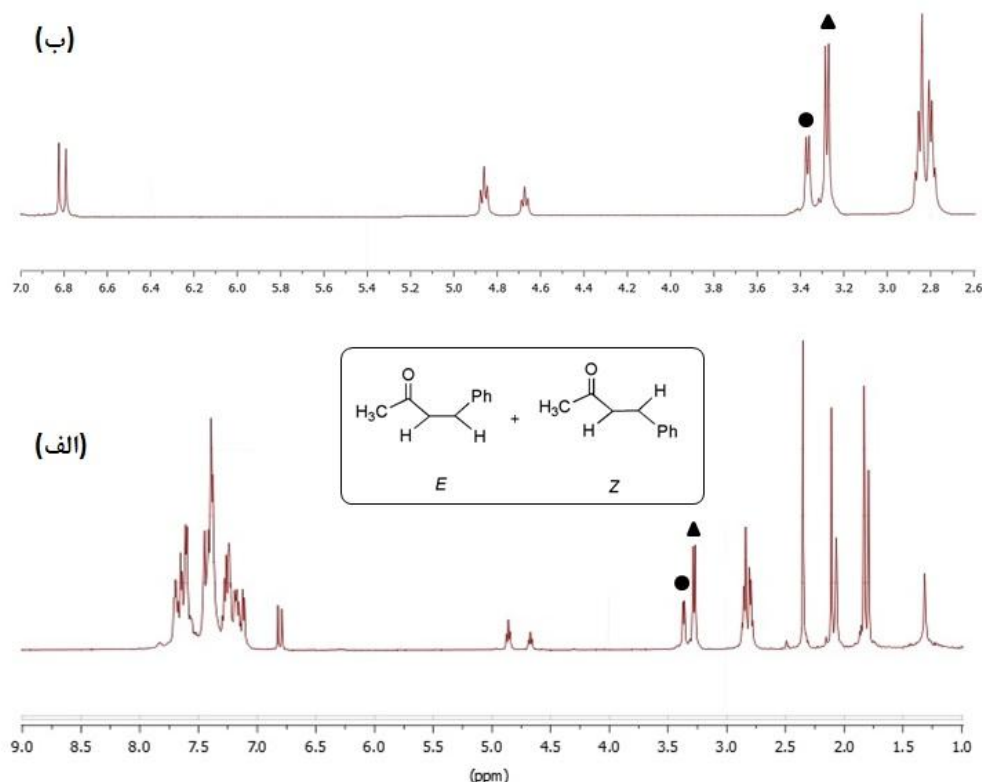
شرایط واکنش: کتون α,β -غیراشباع (۱/۰ میلی مول)، دی‌متیل‌فنیل‌سیلان (۱/۰ میلی مول)، کاتالیزور (۰/۰۰۵ گرم کمپلکس ۱)، تولوئن (۴ میلی لیتر)، 110°C ، ۴ ساعت

در نتیجه‌ی واکنش هیدروسیلیل‌دار کردن موقعیت اولفینی در کتون α,β -غیراشباع، احتمال تشکیل ایزومری‌های E و Z در فرآورده‌ی واکنش وجود دارد (شکل ۷).



شکل ۷- ایزومری‌های *E* و *Z* مربوط به فرآورده‌ی واکنش هیدروسیلیل دار کردن ترکیب بنزیلیدین استون

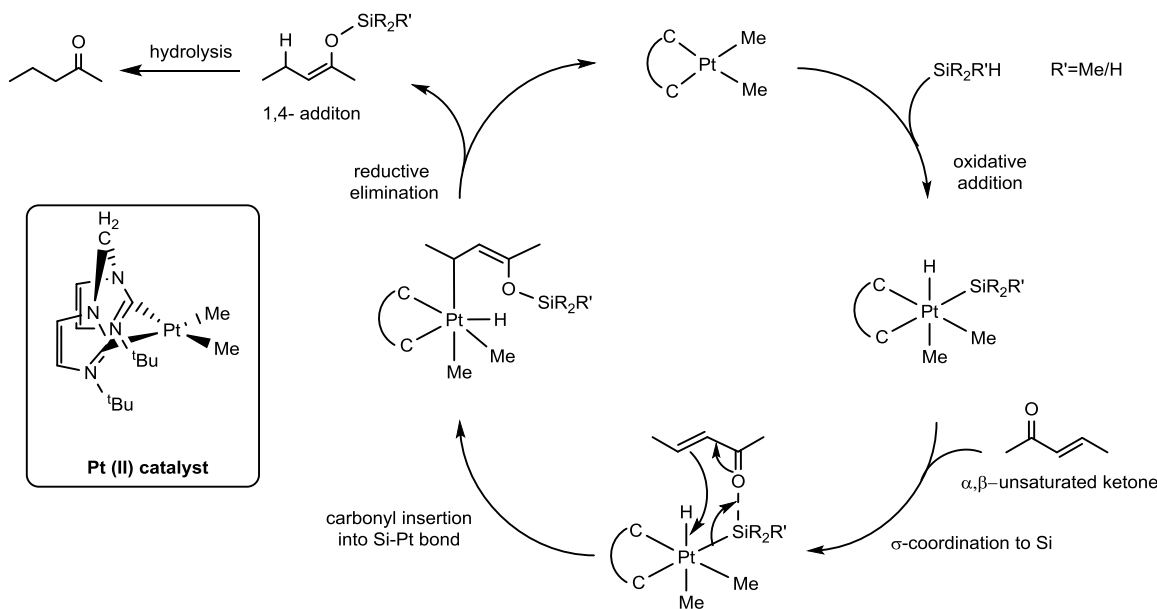
محصول واکنش هیدروسیلیل دار کردن بنزیلیدن استون در حضور دی‌متیل‌فنیل‌سیلان و کمپلکس ۱ در حلول تولوئن و دمای 110°C به مدت ۴ ساعت، به وسیله‌ی طیف‌بینی ^1H NMR^۱ مورد مطالعه قرار گرفت. همان‌طور که در شکل ۸ مشاهده می‌شود، طبق نتایج حاصل از تفسیر طیف ^1H NMR^۱، تشکیل ایزومری‌های *E* و *Z* با نسبت ۱:۲ با برتری تشکیل ایزومر پایدارتر به خوبی قابل تایید است.



شکل ۸- طیف ^1H NMR^۱ محصول واکنش هیدروسیلیل دار کردن بنزیلیدن استون (الف) طیف کامل، (ب) طیف گستردۀ (شرایط واکنش: بنزیلیدن استون (۱/۰ میلی مول)، دی‌متیل‌فنیل‌سیلان (۱/۰ میلی مول)، کمپلکس ۱ (۰/۰۰۵ مول)، تولوئن (۴ میلی لیتر)، 110°C ، ۴۸ ساعت)

mekanisim پیشنهادی برای عملکرد کمپلکس متیلن بیس-*N*-(ترشیو بوتیل)‌ایمیدازول-۲-ایلیدن(دی‌متیل‌پلاتین(II)) به عنوان کاتالیزور همگن در واکنش هیدروسیلیل دار کردن کتون‌های α,β -غیراشباع در شکل ۹ نشان داده شده است. همان‌طور که مشاهده می‌شود، در شرایط بهینه و در حضور کاتالیزور همگن افزایش هیدروسیلان به کتون‌های α,β -غیراشباع بدون

وابستگی به ماهیت سیلان، به صورت گزینشی فرآورده‌ی ناشی از افزایش ۱،۴ تولید می‌شود. از حام فضایی پیرامون مرکز فلزی در کمپلکس متیلن‌بیس-(N-(ترشیوبوتیل)ایمیدازول-۲-ایلیدن)(II) مانع از تشکیل فرآورده‌ی ناپایدار سینتیکی ناشی از افزایش ۱،۲ بر روی کتون α,β -غیراشباع و در نتیجه تشکیل اختصاصی فرآورده‌ی پایدار ترمودینامیکی ناشی از افزایش ۱،۴ می‌باشد.



شکل ۹- مکانیسم پیشنهادی واکنش هیدروسیلیل دار کردن کتون‌های α,β -غیراشباع در حضور کمپلکس ۱

۳- روش تجربی

۳-۱- مواد شیمیایی و دستگاه‌ها

تمامی مواد شیمیایی و حلال‌های مورد استفاده در این تحقیق از شرکت‌های تجاری خریداری شده و بدون خالص سازی مجدد مورد استفاده قرار گرفته‌اند. به منظور بررسی پیشرفت واکنش از روش کروماتوگرافی لایه نازک (TLC) با صفحه‌ی آلمینیومی و سیلیکاژل F254 و لامپ فرابنفش استفاده شده است. طیف‌های ^1H NMR و ^{13}C به وسیله‌ی دستگاه Bruker با قدرت ۴۰۰ مگاهرتز به دست آمده‌اند. با توجه به حلالیت نمونه‌ها، از CDCl_3 و DMSO-d_6 و acetone-d_6 به عنوان حلال و از TMS مرجع استاندارد خارجی استفاده شده است. جابه‌جایی‌های شیمیایی نسبت به TMS برحسب ppm و کوپلازها برحسب هرتز (Hz) در نظر گرفته شده‌اند. طیف‌های جرمی به وسیله‌ی دستگاه طیفسنج Hewlett-Packard Series 1100 با استفاده از تکنیک یونش به روش الکترواسپری ثبت شده‌اند.

۲-۳- روش عمومی سنتز کمپلکس $cis/trans$ -[PtCl₂(SMe₂)₂]

به سوسپانسیون ۱۰٪ K₂PtCl₆ (۱ گرم) در آب (۴۰ میلی‌لیتر)، مقدار ۱/۲ میلی‌لیتر SMe₂ افزوده می‌شود و به مخلوط واکنش فرستاده می‌شود که در دمای اتاق برای مدت ۳۰ دقیقه به خوبی همزده شود. پس از آن، مخلوط واکنش تا دمای ۸۰°C حرارت داده می‌شود. رسوب نارنجی رنگ حجیمی در این مرحله تشکیل می‌شود. محلول تهیه شده از Na₂SO₃ (۰.۴۲ گرم در ۵ میلی‌لیتر آب) به آرامی از طریق مبرد به مخلوط واکنش اضافه می‌شود که منجر به حل شدن رسوب و تولید محلول زرد رنگ می‌گردد. پس از کاهش دمای مخلوط واکنش، ۴ میلی‌لیتر HCl به تدریج به محلول اضافه می‌شود. برای خارج شدن مقادیر اضافی SO₂, SMe₂, HCl، محلول به مدت ۳۰ دقیقه حرارت داده می‌شود. رسوب حاصل، توسط CH₂Cl₂ استخراج می‌شود. پس از خشک کردن محصول توسط MgSO₄، حلal تبخیر و پسمانده با دی‌اتیل اتر شستشو شو داده می‌شود و در خلاً خشک می‌گردد. کمپلکس حاصل به صورت مخلوطی از ایزومرهای سیس و ترانس می‌باشد که به وسیله‌ی طیف سنجی ¹H NMR ¹H NMR شناسایی شده است.

¹H NMR (300 MHz, CDCl₃) δ 2.56 (s, 24H, ³J_{PtH} = 49.5 Hz, protons of the SMe₂ ligands of the *cis* isomer), 2.44 (s, 24H, ³J_{PtH} = 41.5 Hz, protons of the SMe₂ ligands of the *trans* isomer)

۳-۳- روش عمومی سنتز کمپلکس [Pt₂Me₄(μ-SMe₂)₂]

محلولی از MeLi در اتر خشک (۶ میلی‌لیتر)، به آهستگی به سوسپانسیونی از مخلوط سیس و ترانس [PtCl₂(SMe₂)₂] در اتر خشک (۳۰ میلی‌لیتر) و در دمای ۰°C، تحت گاز آرگون اضافه می‌شود. مخلوط واکنش به مدت ۲ ساعت (۰.۶ گرم) در اتر خشک (۳۰ میلی‌لیتر) و در دمای ۰°C، تحت گاز آرگون اضافه می‌شود. مخلوط واکنش به مدت ۲ ساعت می‌چرخد و سپس با دقت به وسیله‌ی محلولی از آمونیوم کلرید آبی اشباع شده (۱۰ میلی‌لیتر) هیدرولیز می‌گردد. سپس لایه اتری جدا و با MgSO₄ خشک می‌شود. حلal در خلاً تبخیر می‌شود تا محصول به صورت جامد سفید رنگ به دست آید.

¹H NMR (300 MHz, CDCl₃) δ 0.63 (s, 12H, ²J_{PtH} = 85.2 Hz, Pt-Me), 2.67 (m, 12H, ³J_{PtH} = 20.7 Hz, protons of the SMe₂ ligands)

۴-۳- روش عمومی سنتز لیگاند متیلن‌بیس-(N-(ترشیوبوتیل)ایمیدازول-۲-ایلیدن

از اسیدی کردن محلول ۱-ترشیوبوتیل‌آمین (۳/۵ میلی‌لیتر) در آب مقطر (۵ میلی‌لیتر) به وسیله‌ی فسفریک اسید، نمک ۱-ترشیوبوتیل آمونیوم حاصل می‌شود (pH=۲). نمک ۱-ترشیوبوتیل‌آمونیوم، گلی‌اکسال (۱۱/۵ میلی‌لیتر) و فرمالدهید (۵/۱۰ میلی‌لیتر) همزمان به ظرف واکنش اضافه و واکنش در دمای ۹۰°C شروع می‌شود. در حین واکنش، محلول آمونیوم کلرید (۳۵/۵ گرم) در آب مقطر (۲۵ میلی‌لیتر) به آرامی طی مدت ۷۰ دقیقه به ظرف واکنش اضافه می‌گردد. پس از انجام واکنش، با قلیابی کردن محیط واکنش به وسیله پتابسیم هیدروکسید (pH=۱۰)، ترکیب ۱-ترشیوبوتیل ایمیدازولیوم حاصل می‌شود. محصول نهایی به روش استخراج به وسیله‌ی اتیل استات و نقطه‌گیری، به ترتیب جداسازی و خالص‌سازی می‌شود. در ادامه، از

واکنش ترکیب ۱-ترشیوبوتیل ایمیدازولیوم (۱۰۵ میکرولیتر) با دیبرmomtan (۳۰ میکرولیتر) در دمای 115°C به مدت ۱۳ ساعت تحت آرگون، نمک بیس ایمیدازولیوم نهایی به دست می‌آید.

۳-۵- روش عمومی سنتز کمپلکس متیلن بیس-(N-(ترشیوبوتیل)ایمیدازول-۲-ایلیدن) دی متیل پلاتین(II)
 کمپلکس پلاتین(II) حاوی لیگاند دو دندانه $\text{N}^{\text{a}}\text{-متیلن-}^{\text{b}}\text{N}^{\text{c}}\text{-بیس}$ [ترشیوبوتیل]ایمیدازول-۲-ایلیدن، به وسیله‌ی فرآیند انتقال فلز با استفاده از کمپلکس نقره-کاربن مربوطه، طی دو مرحله سنتز می‌شود. در مرحله اول جدا کردن پروتون از نمک ایمیدازولیوم توسط اکسید نقره(I) صورت می‌گیرد و گونه‌ی نقره-کاربن طی واکنش نمک(بیس ایمیدازولیوم)دیبرومید و اکسیدنقره(I) ایجاد می‌شود. این گونه به صورت پودری سفید رنگ قابل جداسازی است. سپس $0/5$ اکی والان کمپلکس دوهسته‌ای $[\text{Pt}_2\text{Me}_4(\mu-\text{SMe}_2)_2]$ به محیط اضافه شده و واکنش به مدت ۲ ساعت در دمای اتاق و در حلal دیکلرومتان ادامه می‌یابد تا محصول مورد نظر به دست آید.

^1H NMR (400 MHz, Acetone-d₆) δ 0.23 (s, 6H, $^2J_{\text{PtH}} = 67.5$ Hz, 2 Me ligands), 1.7 (s, 18H, protons of tert-butyl groups), 5.3 (d, 1H, $^2J_{\text{HH}} = 12.2$ Hz, the proton H^a of the methylene linker), 6.1 (d, 1H, $^3J_{\text{PtH}} = 19.5$ Hz, $^2J_{\text{HH}} = 12.2$ Hz, the proton H^b of the methylene linker), 7.1, 7.3 (two d, 4H, $^2J_{\text{HH}} = 2$ Hz, vinylic protons within the NHC groups); $^{13}\text{C}\{^1\text{H}\}$ NMR (101 MHz, Acetone-d₆) δ -7.7 (s, $^1J_{\text{PtC}} = 606.1$ Hz, C atoms of CH₃ group), 31, 59 (s, C atoms of 'Bu group connected to N atoms), 64 (s, CH₂ linker between imidazole rings), 118 (s, $^3J_{\text{PtC}} = 28.3$ Hz, vinylic C atoms within the NHC groups), 119 (s, $^3J_{\text{PtC}} = 18.6$ Hz, vinylic C atoms within the NHC groups), 185.5 (s, $^1J_{\text{PtC}} = 778.2$ Hz C atoms of Carbenes)

۳-۶- روش عمومی سنتز کمپلکس متیلن بیس-(N-(ترشیوبوتیل)ایمیدازول-۲-ایلیدن) بیس-(تریفلوئورواستات) پلاتین(II)

از واکنش کمپلکس دی متیل بیس-کاربن پلاتین(II) با ۲ اکی والان تری فلوئورواستیک اسید تحت آرگون و در حلal استونیتریل خشک، کمپلکس متیلن بیس-(N-(ترشیوبوتیل)ایمیدازول-۲-ایلیدن) بیس-(تریفلوئورو استات) پلاتین(II) به صورت پودر سفید با خلوص بالا تهیه می‌گردد. واکنش پس از یک ساعت در دمای 0°C و یا نیم ساعت در دمای اتاق کامل می‌شود.

^1H NMR (400 MHz, Acetone-d₆) δ 1.84 (s, 18 H), 6.17 (d, $^2J_{\text{HH}} = 13.6$ Hz, 2H), 6.56 (d, $^2J_{\text{HH}} = 13.6$ Hz, 2H), 7.44 (d, $^3J_{\text{HH}} = 1.9$ Hz, 2H), 7.63 (d, $^3J_{\text{HH}} = 1.9$ Hz, 2H); $^{13}\text{C}\{^1\text{H}\}$ NMR (101 MHz, Acetone-d₆) δ 31 (C atoms of CH₃ group), 59 (C atoms of 'Bu group connected to N atoms), 63 (CH₂ linker between imidazole rings), 118, 120 (C atoms of imidazole rings), 136 (C atoms of Carbenes), 119, 161 (C atoms of the TFA ligands); ESI-Mass in CH₃CN: m/z 568.2 [M-TFA]⁺

۷-۳- روش عمومی واکنش هیدروسیلیلدار کردن کتون‌های α -، β - غیراشباع توسط کمپلکس‌های پلاتین(II)

حامل لیگاند بیس (N-هتروسیکلیک کاربن)

جهت انجام واکنش هیدروسیلیلدار کردن، کتون α -، β - غیراشباع (۱۰ میلیمول)، سیلان (۱۰ میلیمول) و کاتالیزور (۵ میلیگرم) در ۴ میلیلیتر حلal در ظرف واکنش ریخته و در شرایط زمانی و دمایی معین رفلaks می‌شود. انجام واکنش توسط کروماتوگرافی لایه نازک بررسی می‌گردد. پس از کامل شدن واکنش، مخلوط واکنش تا دمای اتاق سرد و در مرحله‌ی بعد مخلوط صاف می‌شود. بازده هر واکنش به وسیله‌ی طیفبینی NMR تعیین می‌گردد.

نتیجه‌گیری

در این پژوهش، کمپلکس‌های پلاتین(II) حاوی لیگاند بیس (N-هتروسیکلیک کاربن) سنتز و شناسایی شدند و عملکرد کاتالیزوری این ترکیبات در واکنش‌های هیدروسیلیلدار کردن کتون‌های α -، β - غیراشباع مورد بررسی قرار گرفت. کمپلکس ۱ در مقایسه با کمپلکس ۲ دارای نتایج مطلوب‌تر در پیش‌برد این واکنش‌ها بود. شرایط انجام واکنش ساده بوده و واکنش‌ها با بازده خوب انجام گرفته است. با توجه داده‌های به دست آمده، افزایش هیدروسیلان به کتون‌های α -، β - غیراشباع در حضور کاتالیزور همگن دی‌متیلپلاتین(II) حامل لیگاند بیس N-هتروسیکلیک کاربن و شرایط بهینه‌ی واکنش، بدون توجه به ماهیت سیلان، به صورت گزینشی بر روی موقعیت ۱، ۴ صورت پذیرفت که مزیت مهم این پژوهش به شمار می‌رود.

۴- تقدیر و تشکر

نویسنده‌گان مقاله از حمایت‌های مالی معاونت پژوهشی و فناوری دانشگاه صنعتی شریف صمیمانه تشکر می‌نمایند.

۵- مراجع

- [۱] بضاعت پور، ابوالفضل؛ شیخ حسنی، فرید؛ مجله شیمی کاربردی دانشگاه سمنان، شماره ۳۷ (۱۳۹۴) ص ۱۱.
- [۲] بهزاد، مهدی؛ اطمینانی، سعید؛ مجله شیمی کاربردی دانشگاه سمنان، شماره ۲۲ (۱۳۹۱) ص ۳۱.
- [۳] B. Marciniec, *Silicon Chemistry*, **1** (2002) 155.
- [۴] I. Ojima, S. Patai, Z. Rappoport, *The Chemistry of Organic Silicon Compounds* (1989), Ch. **25** (1995) 1479.
- [۵] I. Ojima, M. Nihonyanagi, Y. Nagai, *J. Chem. Soc. Chemical Communications*, (1972) 938a.
- [۶] I. Ojima, T. Kogure, Y. Nagai, *Chemistry Letters*, **2** (1973) 541.
- [۷] K. Yamamoto, T. Hayashi, M. Kumada, *Journal of Organometallic Chemistry*, **54** (1973) C45.
- [۸] W. Dumont, J. C. Poulin, T. P. Dang, H. B. Kagan, *Journal of American Chemical Society*, **95** (1973) 8295.
- [۹] P. B. Glaser, T. D. Tilley, *Journal of American Chemical Society*, **125** (2003) 13640.
- [۱۰] B. M. Trost, Z. T. Ball, *Journal of American Chemical Society*, **125** (2003) 30.

- [11] A. J. Huckaba, T. K. Hollis, S. W. Reilly, *Organometallics*, **32** (2013) 6248.
- [12] K. Riener, M. P. Högerl, P. Gigler, F. E. Kühn, *ACS Catalysis*, **2** (2012) 613.
- [13] S. E. Denmark, Z. Wang, *Organic Letters*, **3** (2001) 1073.
- [14] S. E. Denmark, D. Wehrli, *Organic Letters*, **2** (2000) 565.
- [15] J. L. Speier, J. A. Webster, G. H. Barnes, *Journal of American Chemical Society*, **79** (1957) 974.
- [16] J. L. Speier, *Advances in Organometallic Chemistry*, **17** (1979) 407.
- [17] T. Hayashi, K. Yamamoto, M. Kumada, *Tetrahedron Letters*, **16** (1975) 3.
- [18] I. Ojima, M. Nihonyanagi, T. Kogure, M. Kumagai, S. Horiuchi, K. Nakatsugawa, *Journal of Organometallic Chemistry*, **94** (1975) 449.
- [19] I. Ojima, T. Kogure, Y. Nagai, *Chemistry Letters*, **4** (1975) 985.
- [20] I. Ojima, T. Kogure, Y. Nagai, *Tetrahedron Letters*, **15** (1974) 1889.
- [21] G. Z. Zheng, T. H. Chan, *Organometallics*, **14** (1995) 70.
- [22] W. A. Herrmann, *Angewandte Chemie International Edition*, **41** (2002) 1290.
- [23] W. A. Herrmann, L. J. Goossen, C. Köcher, G. R. J. Artus, *Angewandte Chemie International Edition English*, **35** (1996) 2805.
- [24] K. M. Hindi, M. J. Panzner, C. A. Tessier, C. L. Cannon, W. J. Youngs, *Chemical Reviews*, **109** (2009) 3859.
- [25] R. Visbal, M. C. Gimeno, *Chemical Society Reviews*, **43** (2014) 3551.
- [26] K. Oisaki, Q. Li, H. Furukawa, A. U. Czaja, O. M. Yaghi, *Journal of American Chemical Society*, **132** (2010) 9262.
- [27] T. Uni, A. J. Boydston, K. A. Williams, C.W. Bielawski, *Journal of American Chemical Society*, **127** (2005) 12496.
- [28] J. L. Hickey, R. A. Ruhayel, P. J. Barnard, M. V Baker, S. J. Berners-Price, A. Filipovska, *Journal of American Chemical Society*, **130** (2008) 12570.
- [29] S. Jamali, D. Milić, R. Kia, Z. Mazloomi, H. Abdolahi, *Dalton Transactions*, **40** (2011) 9362.
- [30] E. A. B. Kantchev, C. J. O'Brien, M. G. Organ, *Angewandte Chemie International Edition English*, **46** (2007) 2768.
- [31] S. Díez-González, N. Marion, S. P. Nolan, *Chemical Reviews*, **109** (2009) 3612.
- [32] T. Dröge, F. Glorius, *Angewandte Chemie International Edition English*, **49** (2010) 6940.
- [33] I. Ojima, T. Kogure, *Organometallics*, **1** (1982) 1390.

